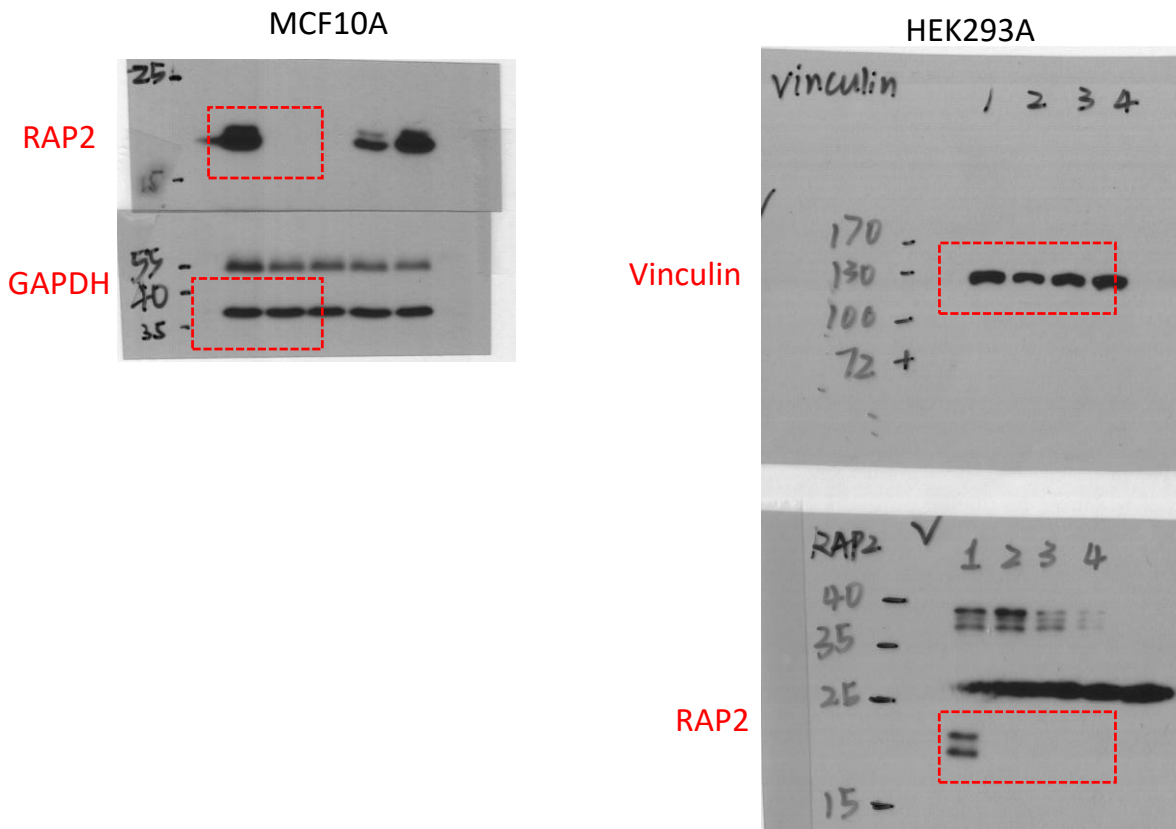


Fig. 1

b

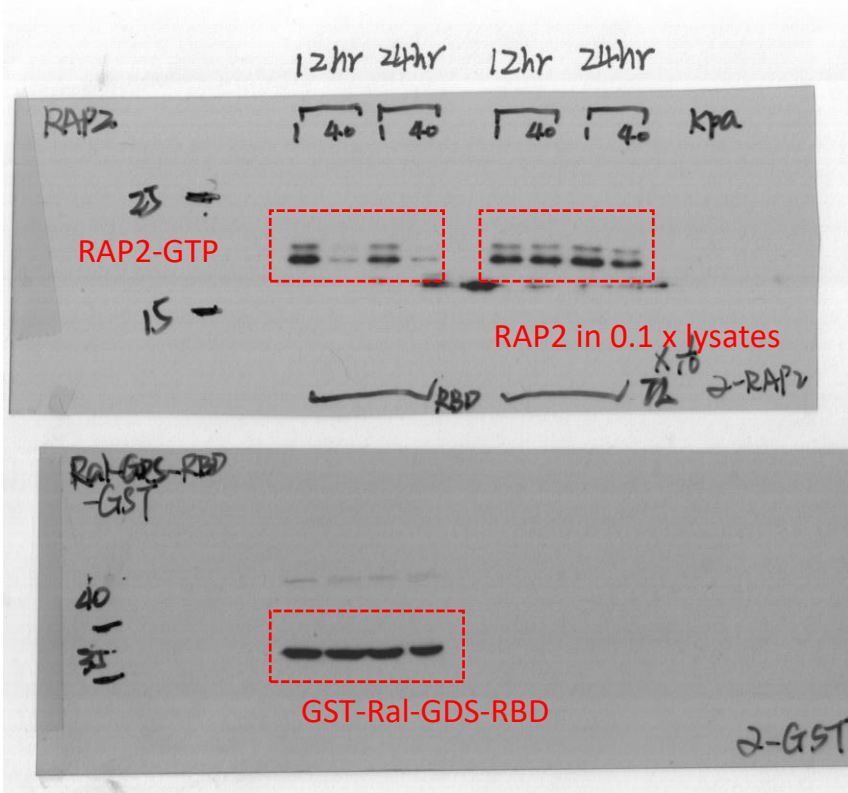


Also EFig. 6b

Fig. 2

a

RAP2 - pull-down experiments.



d

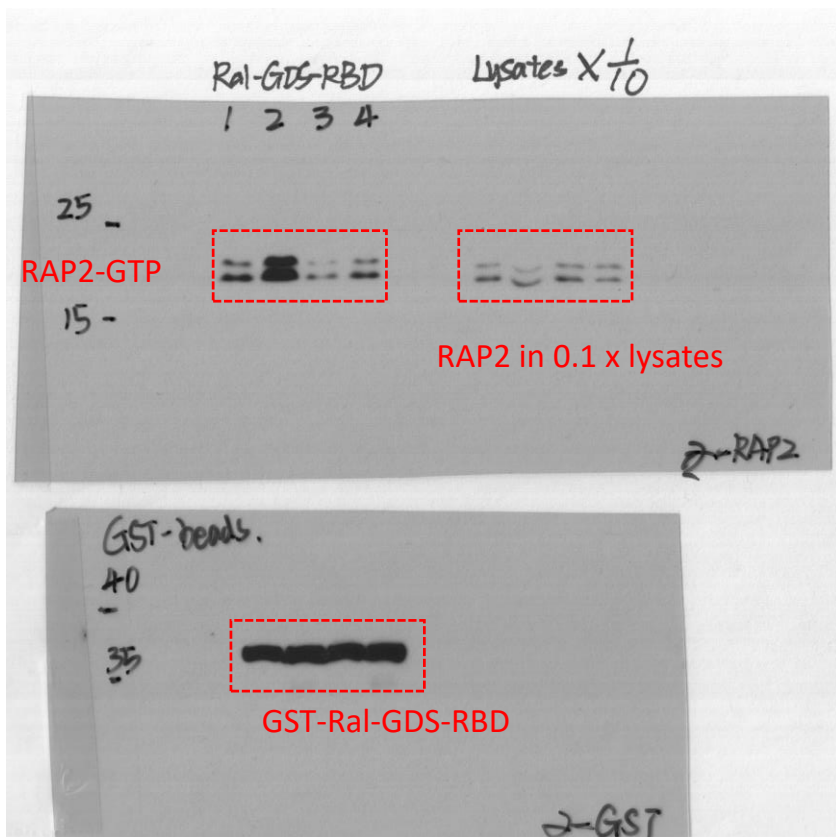
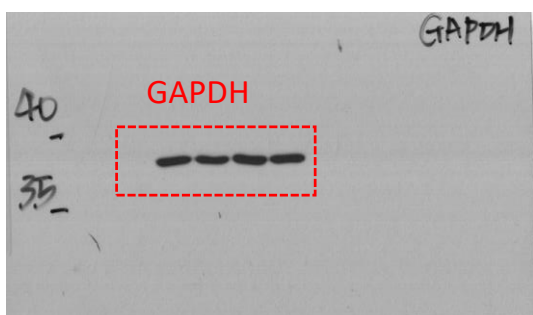
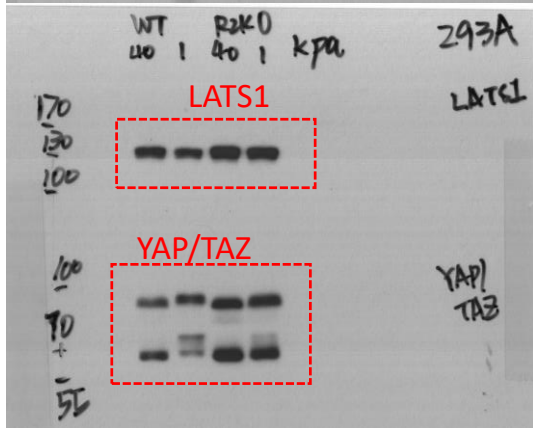
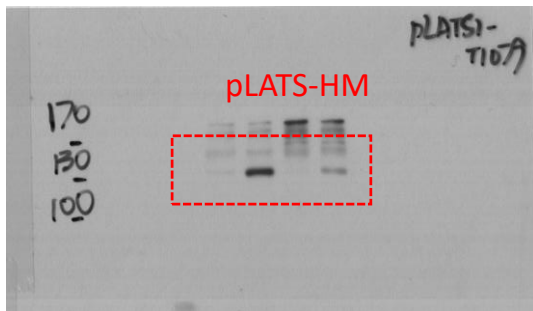
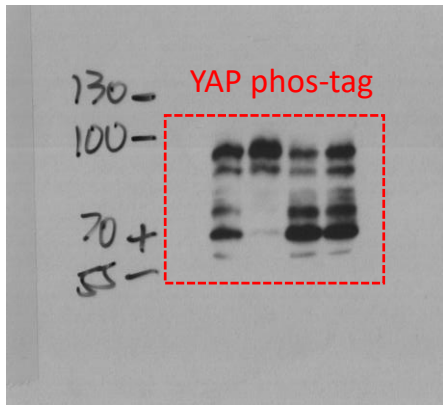
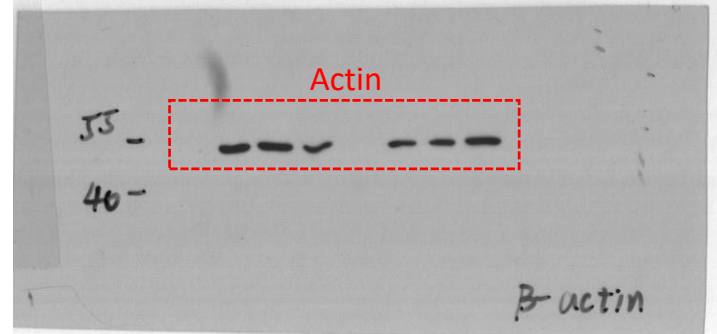
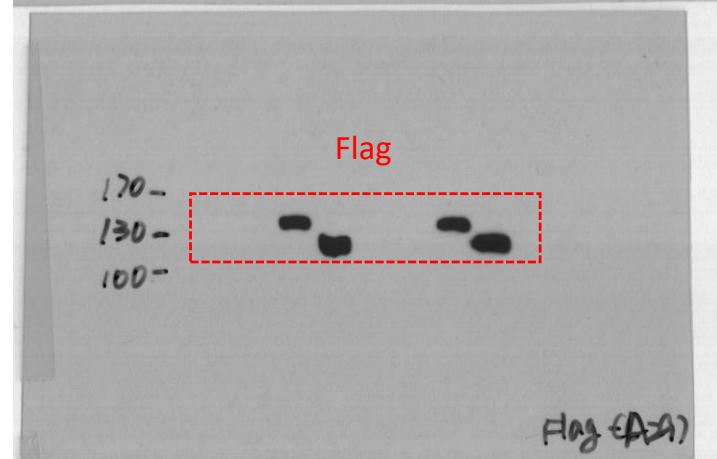
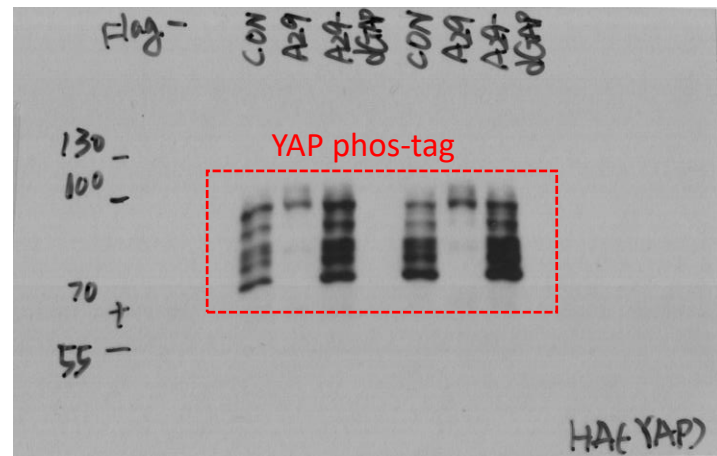


Fig. 3

a

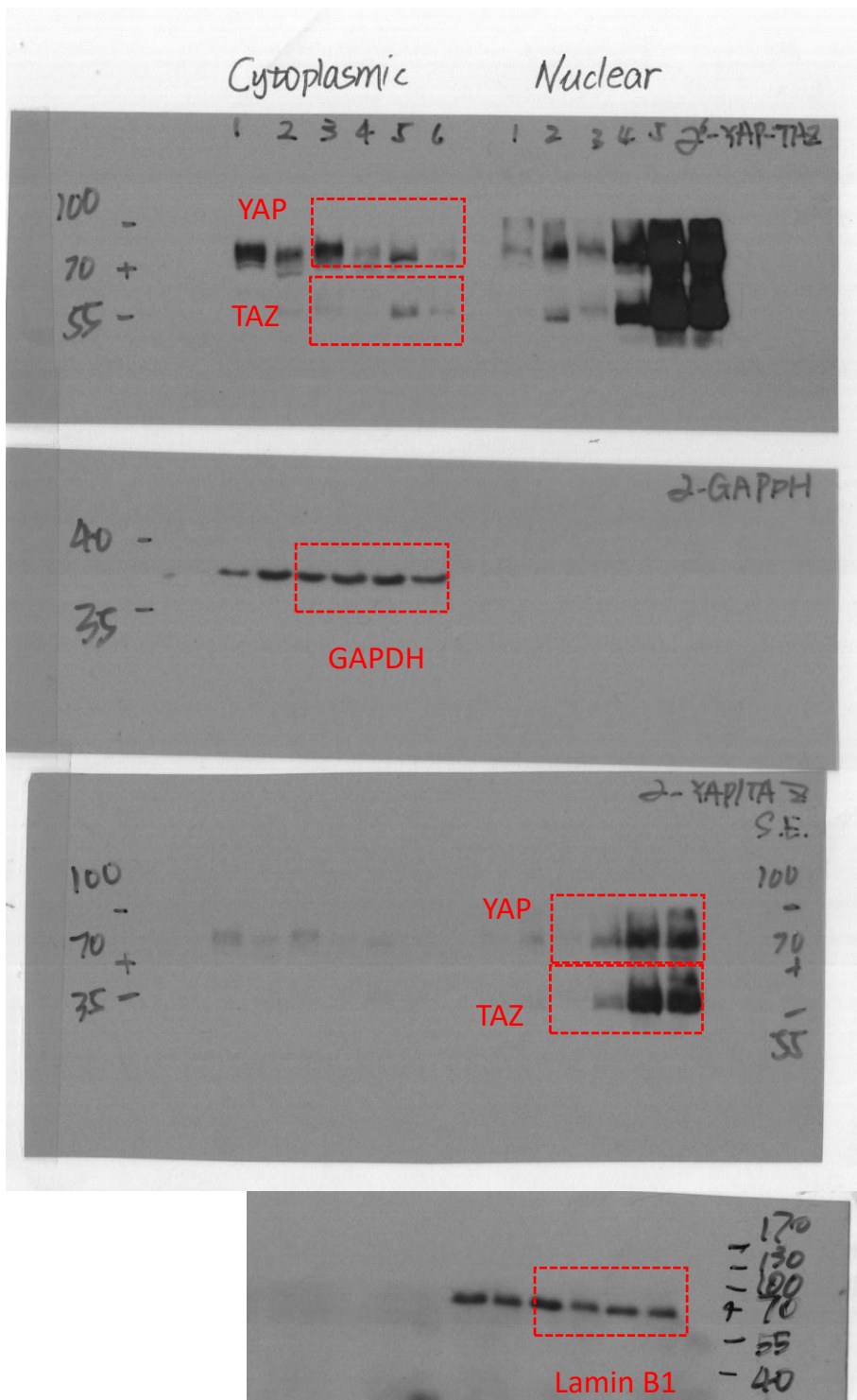


b



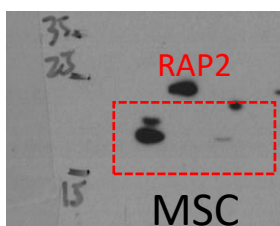
EFig. 1

b

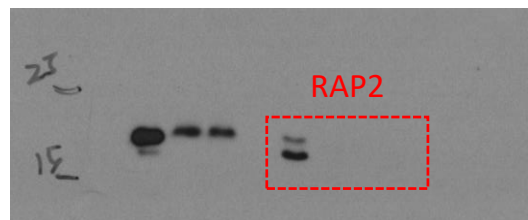
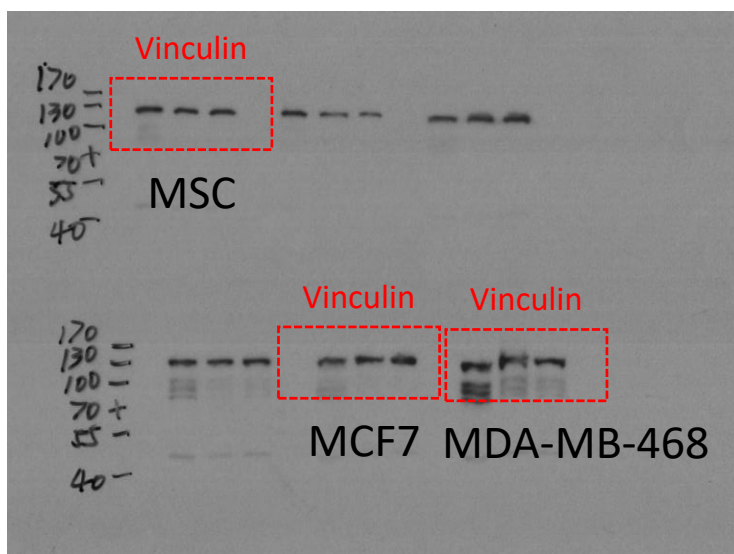
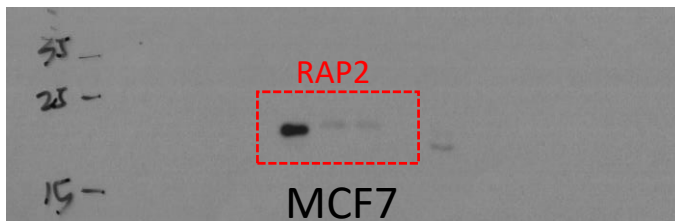


EFig. 1

c



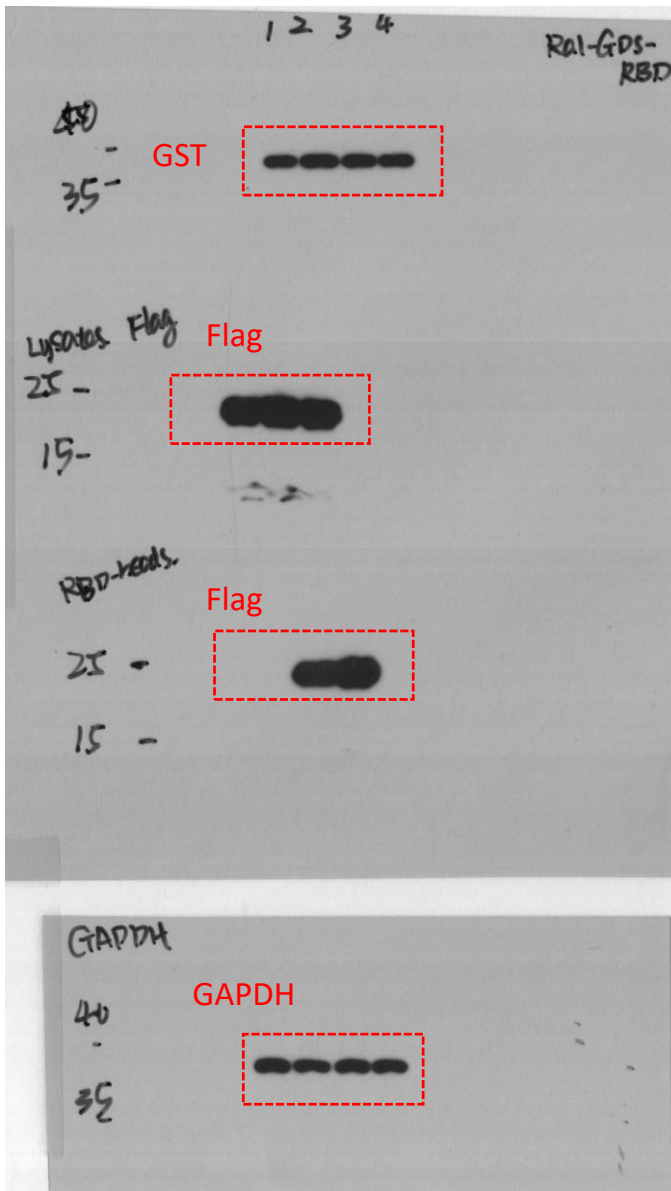
h



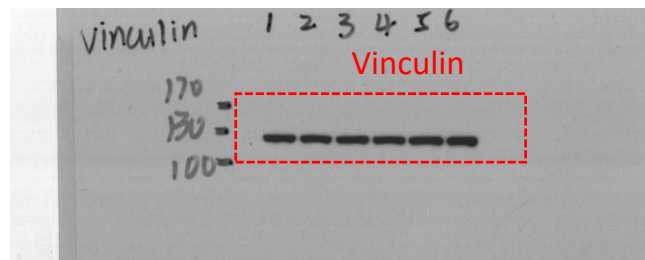
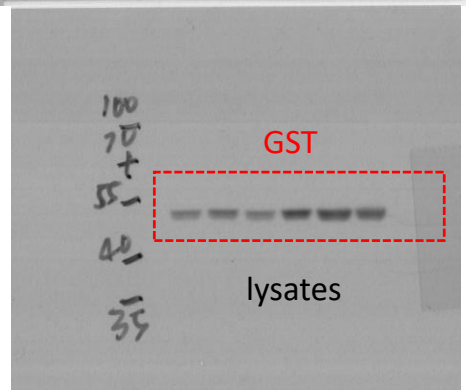
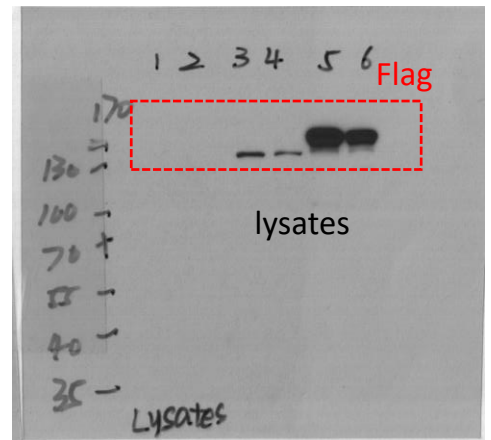
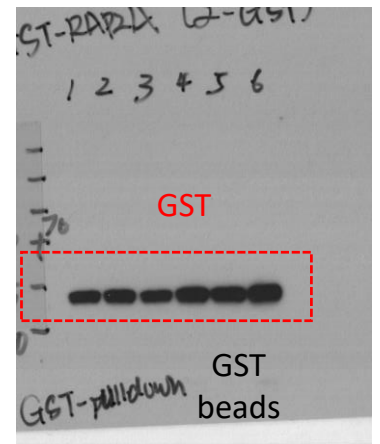
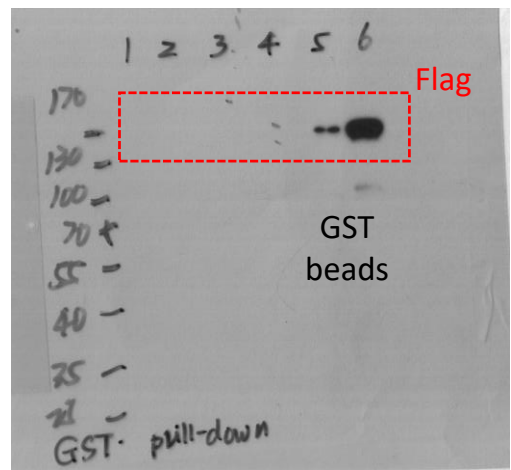
MDA-MB-468

EFig. 2

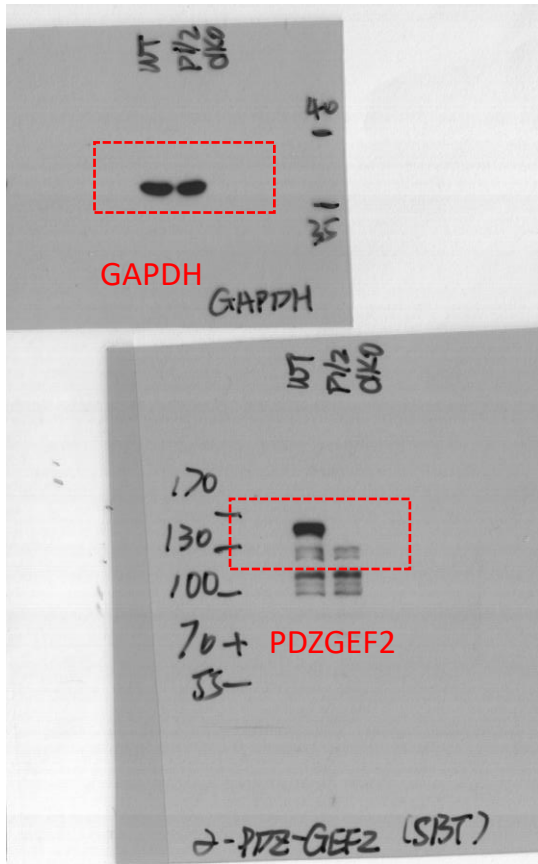
b



d

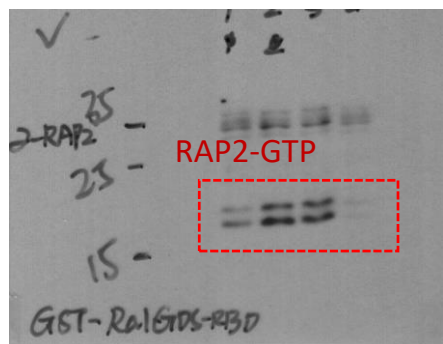


f

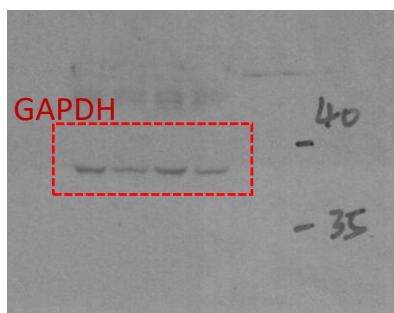
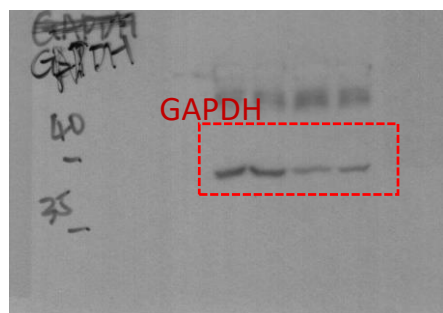
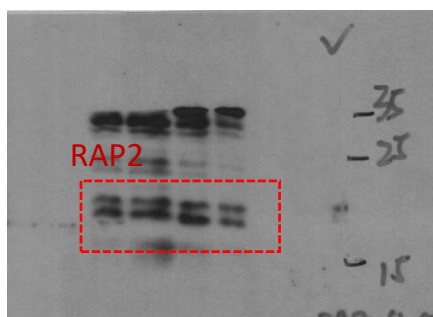
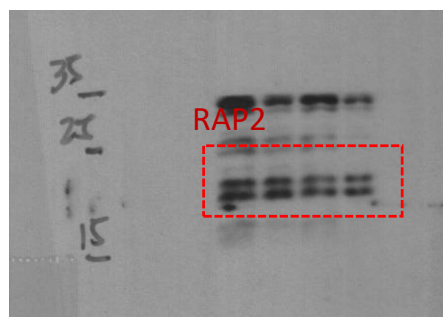
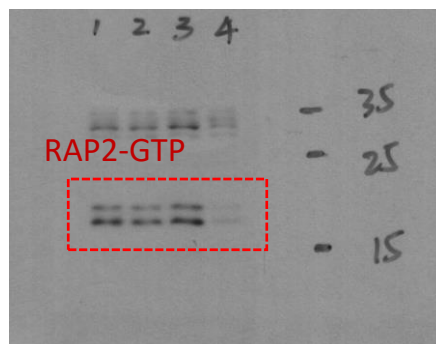


EFig. 3

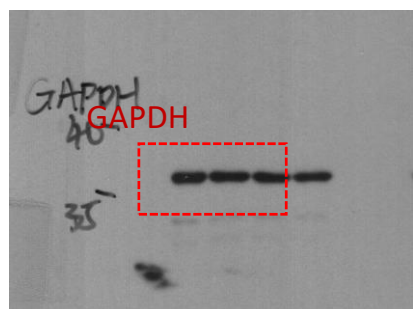
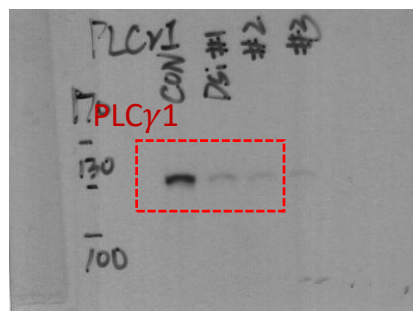
a



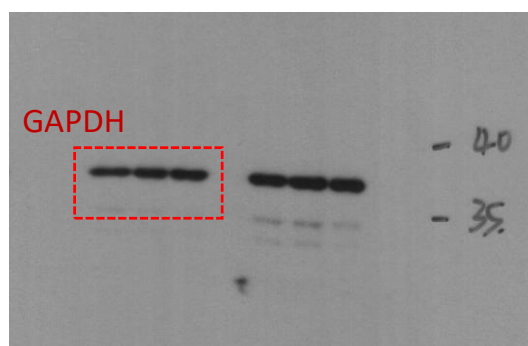
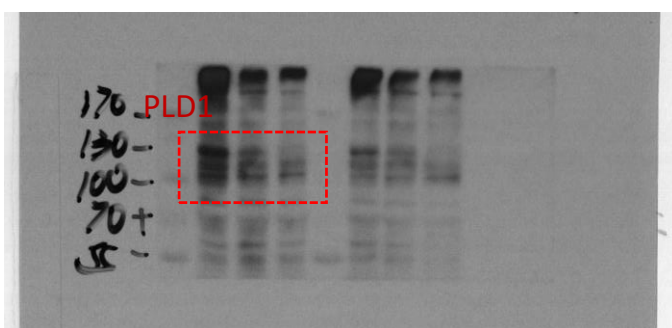
d



g

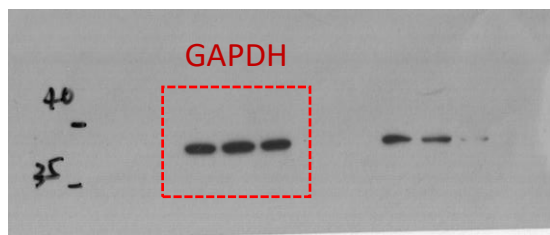
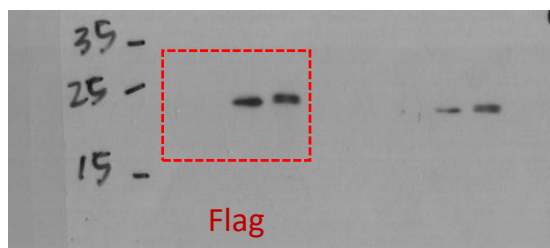
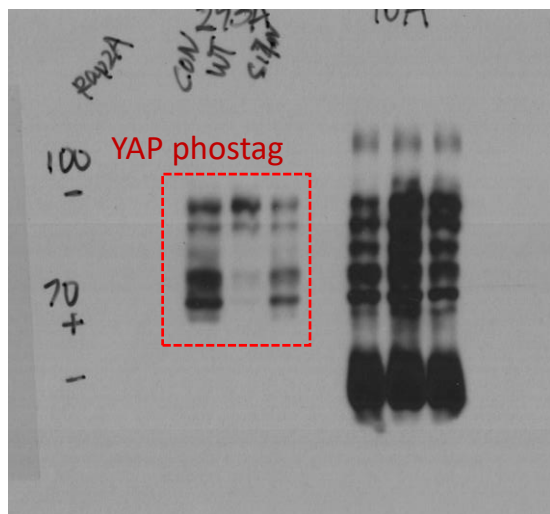


j



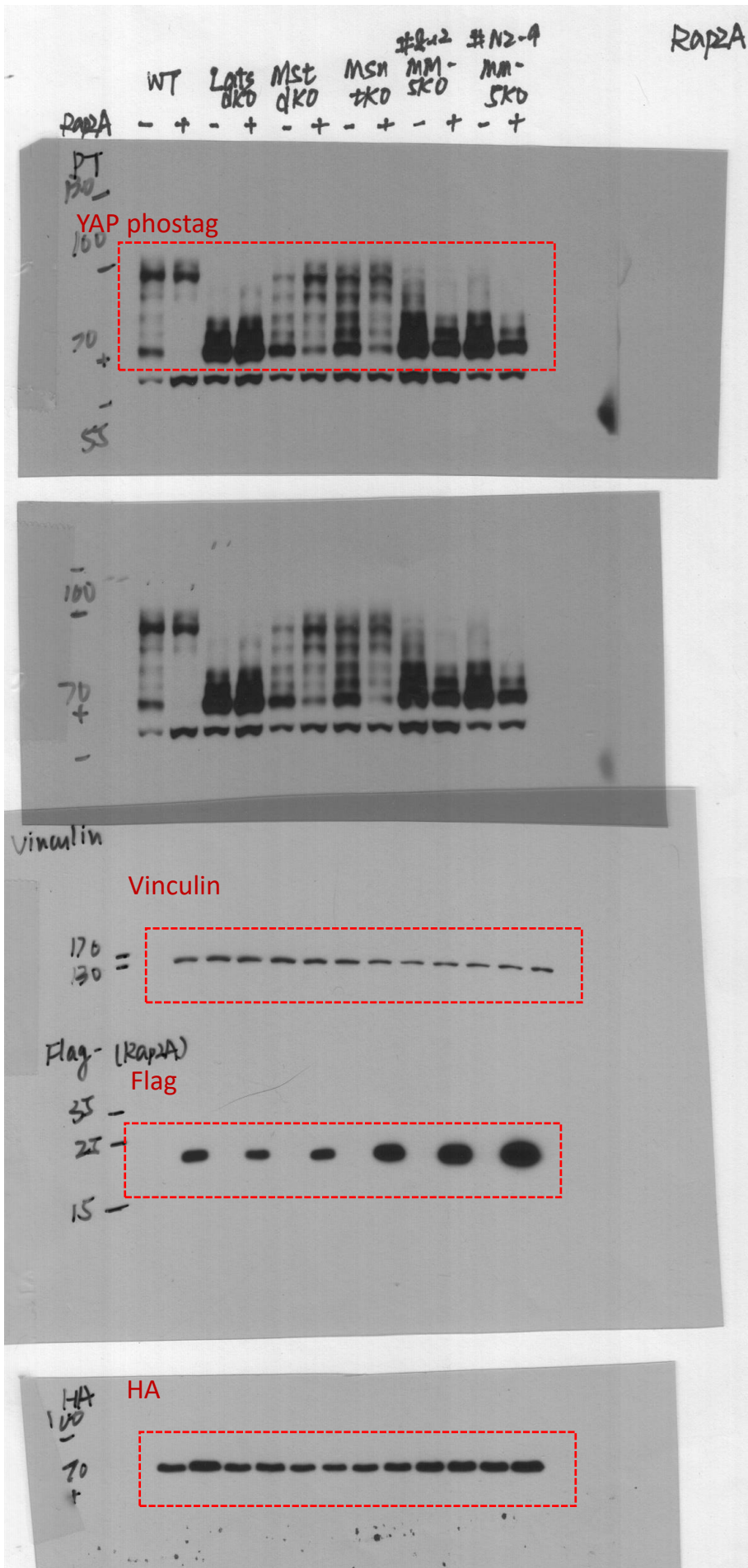
EFig. 3

m

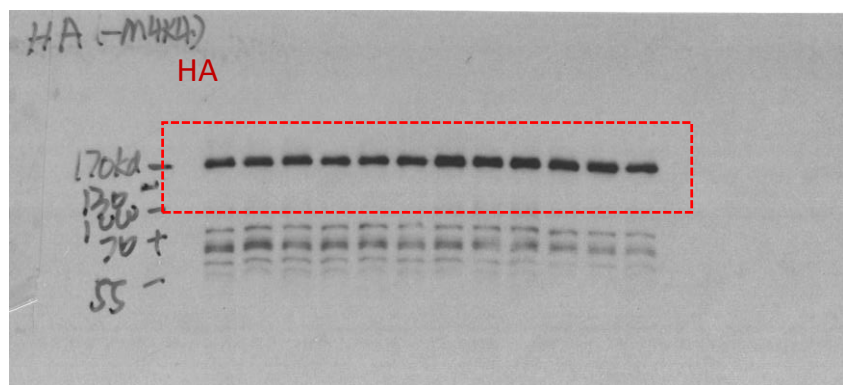
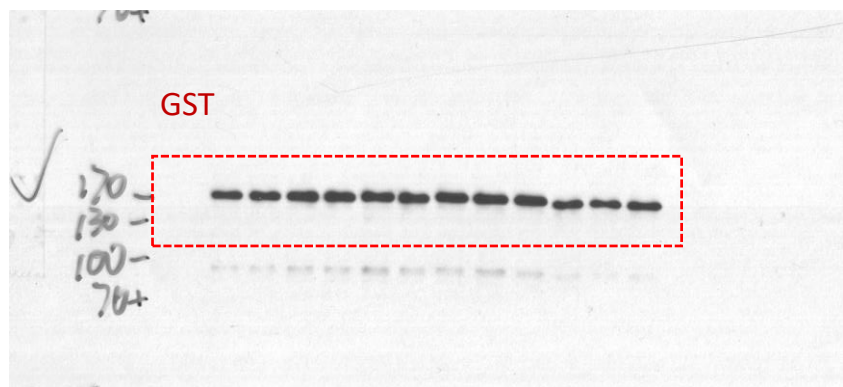
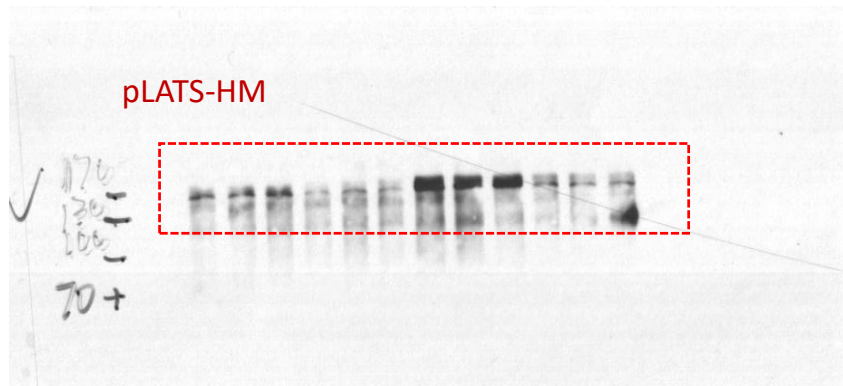


EFig. 4

a

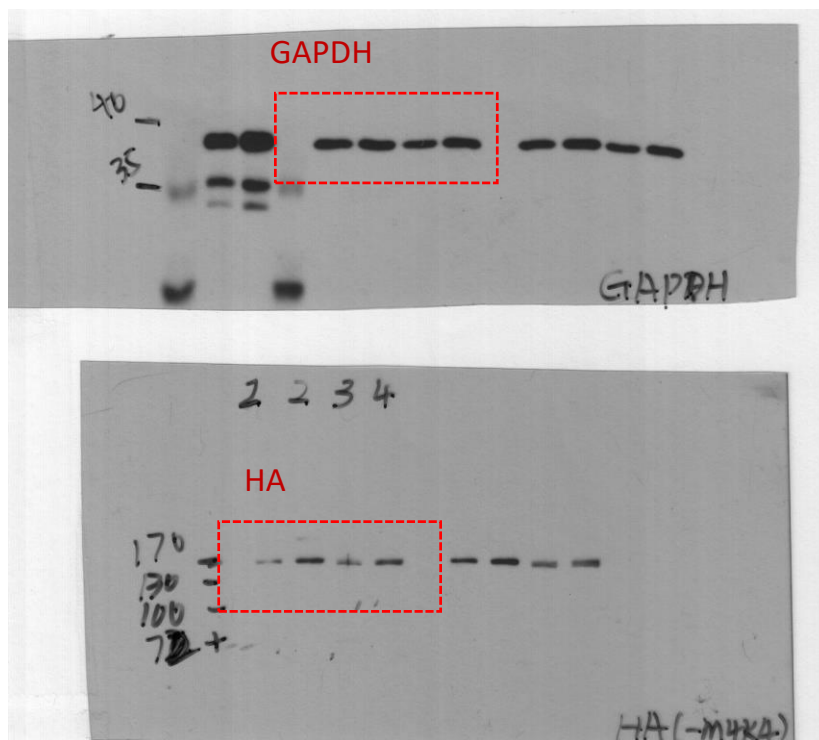


e

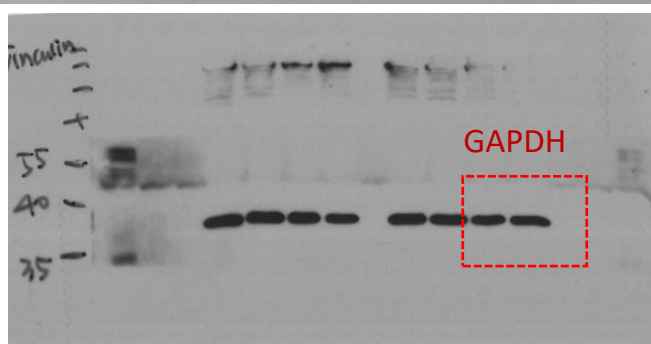
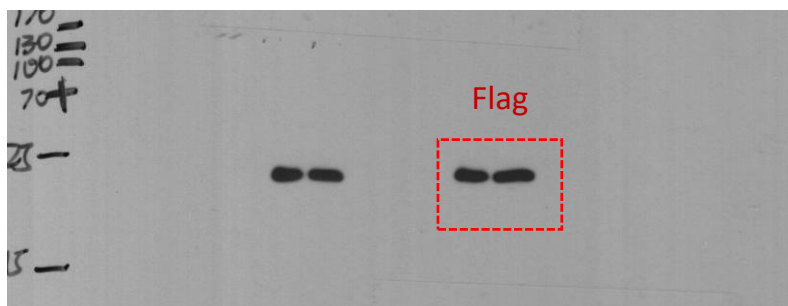
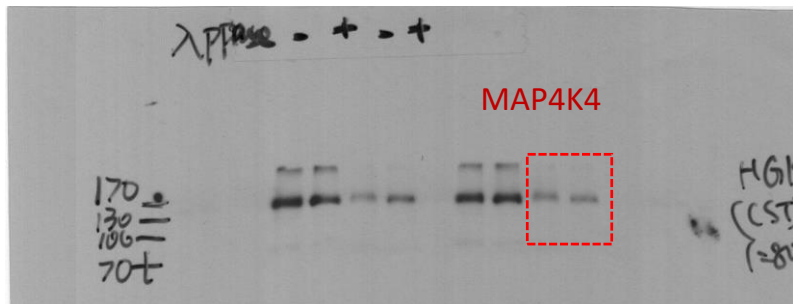


EFig. 4

g

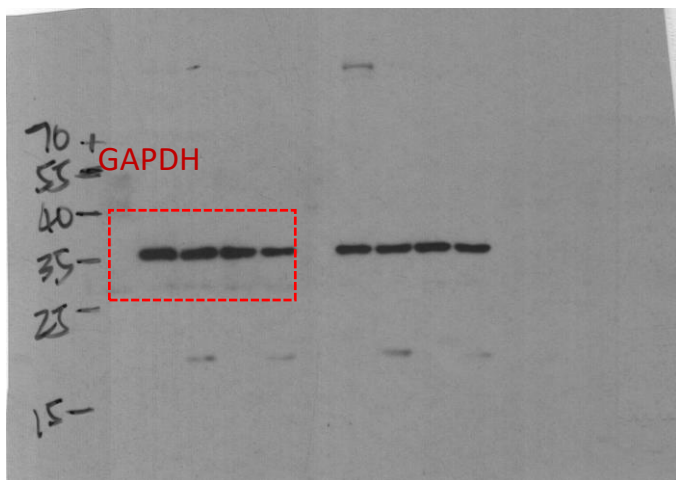
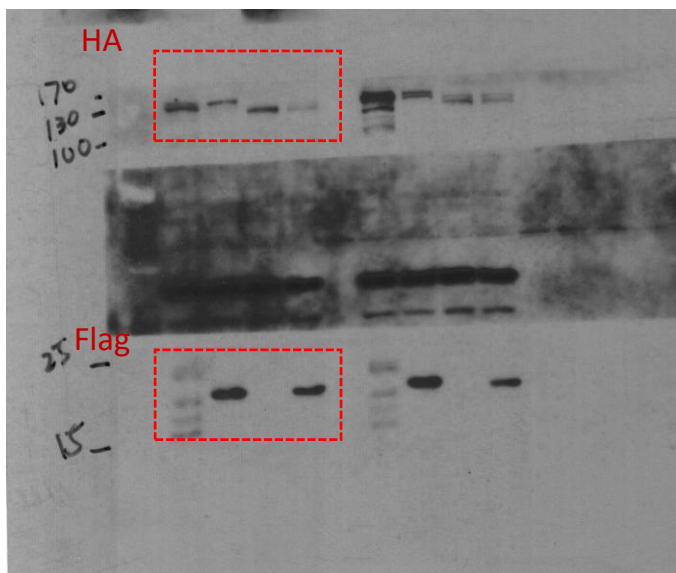


h

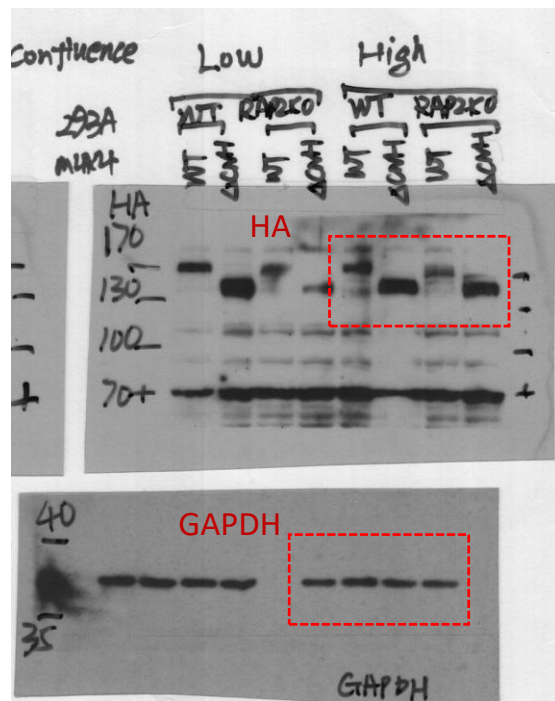


EFig. 4

i

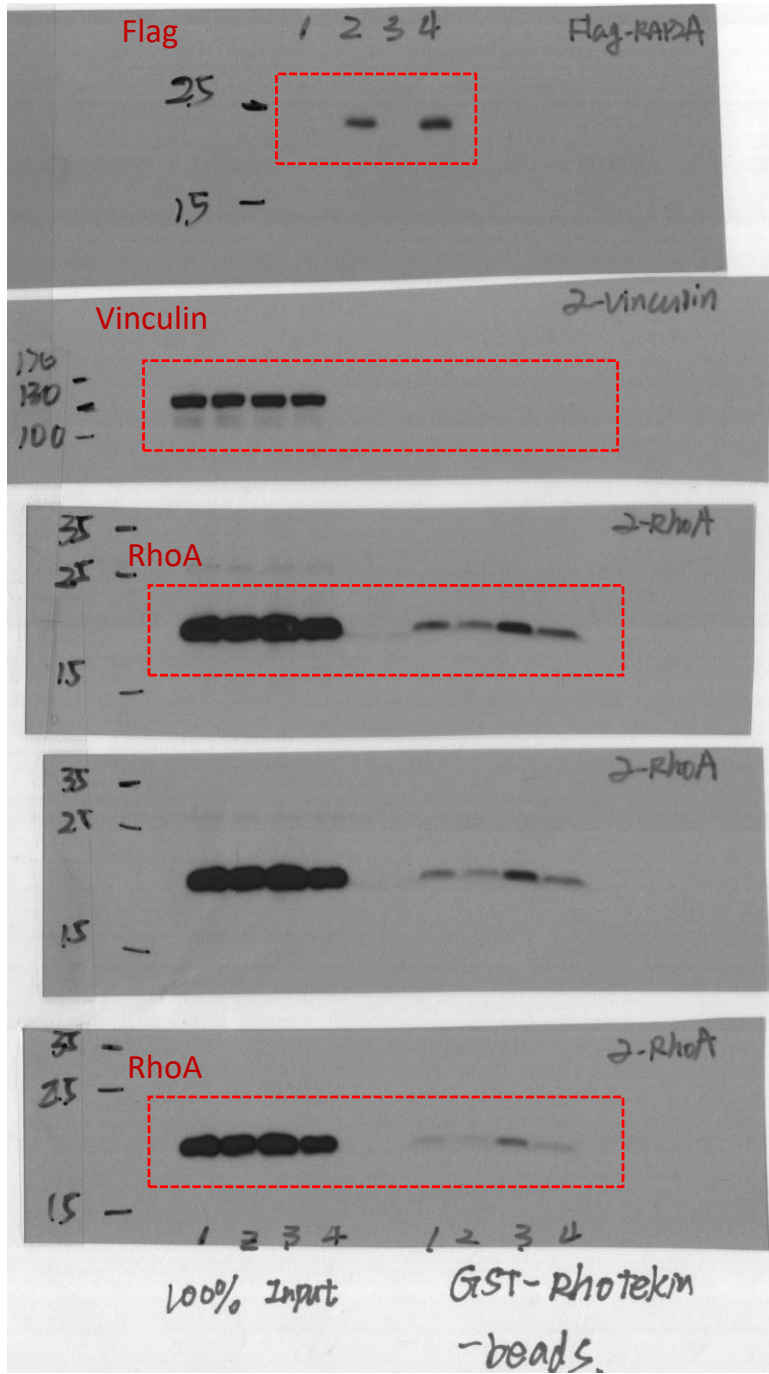


j



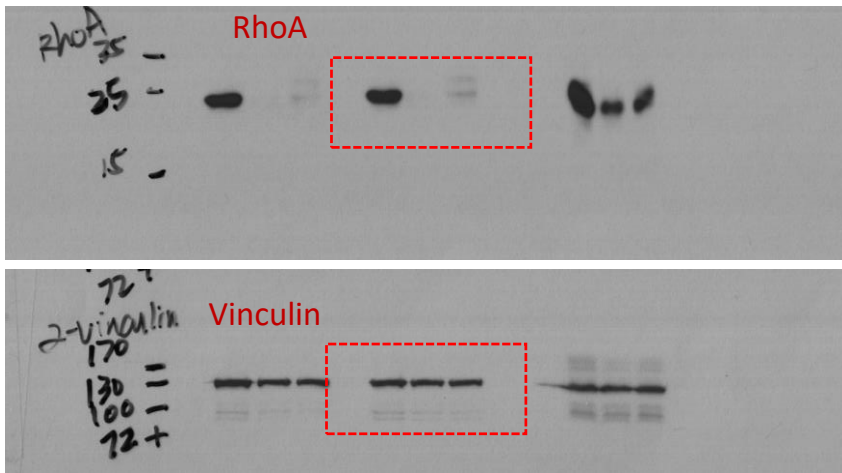
EFig. 5

a

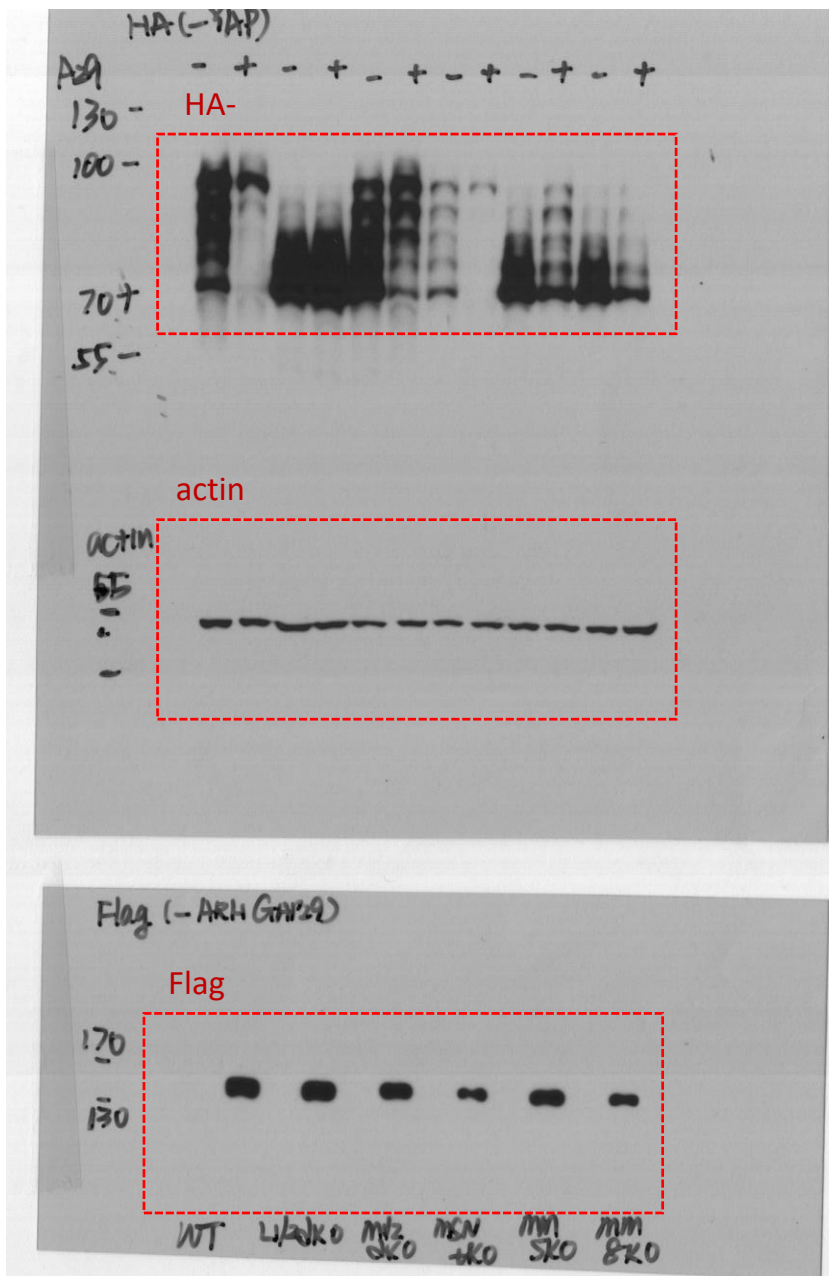


EFig. 5

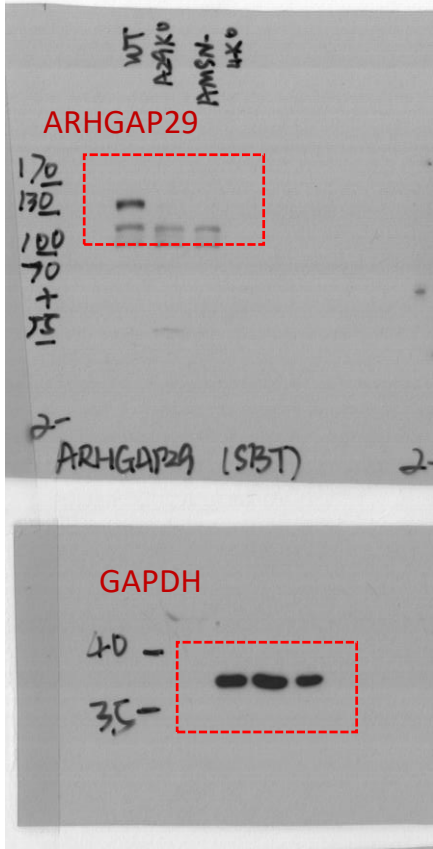
b



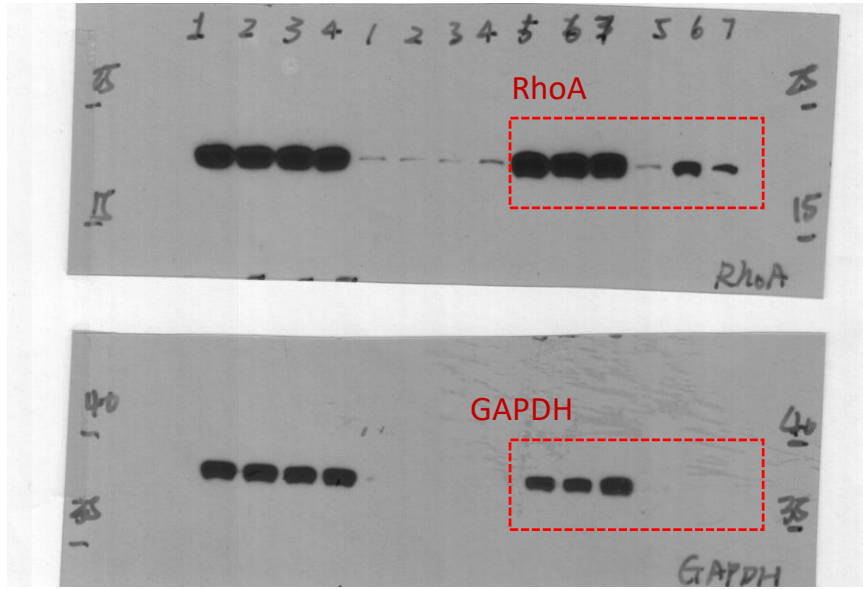
e



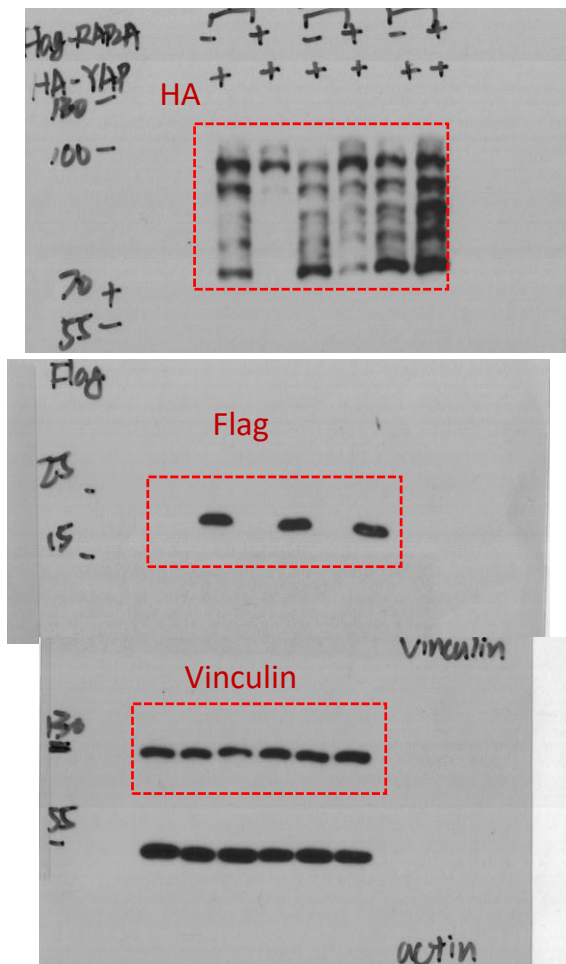
f



g



h

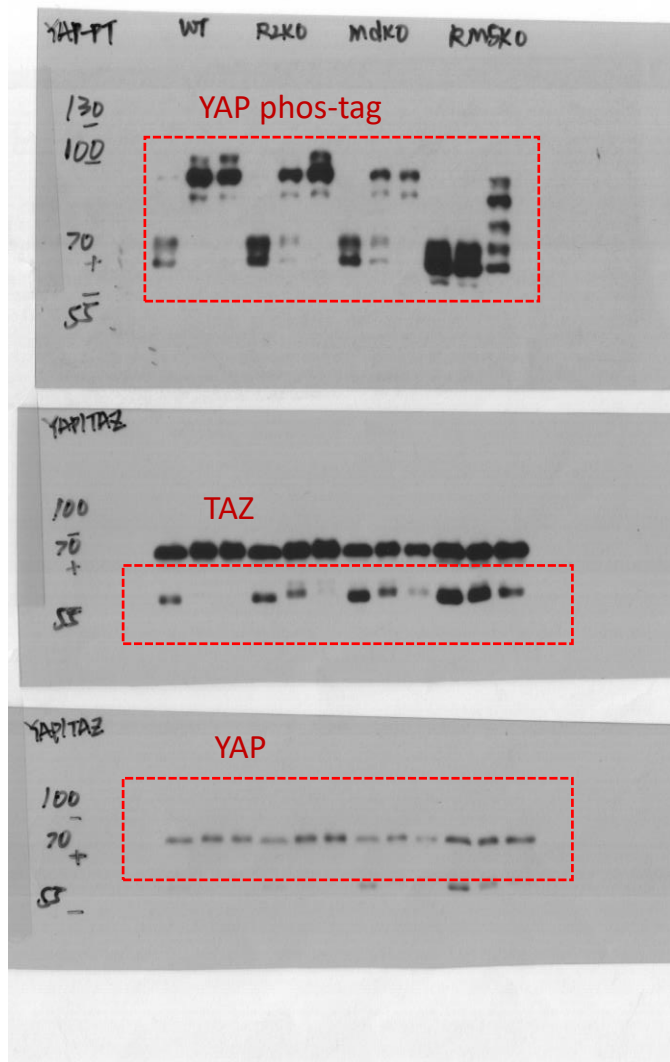
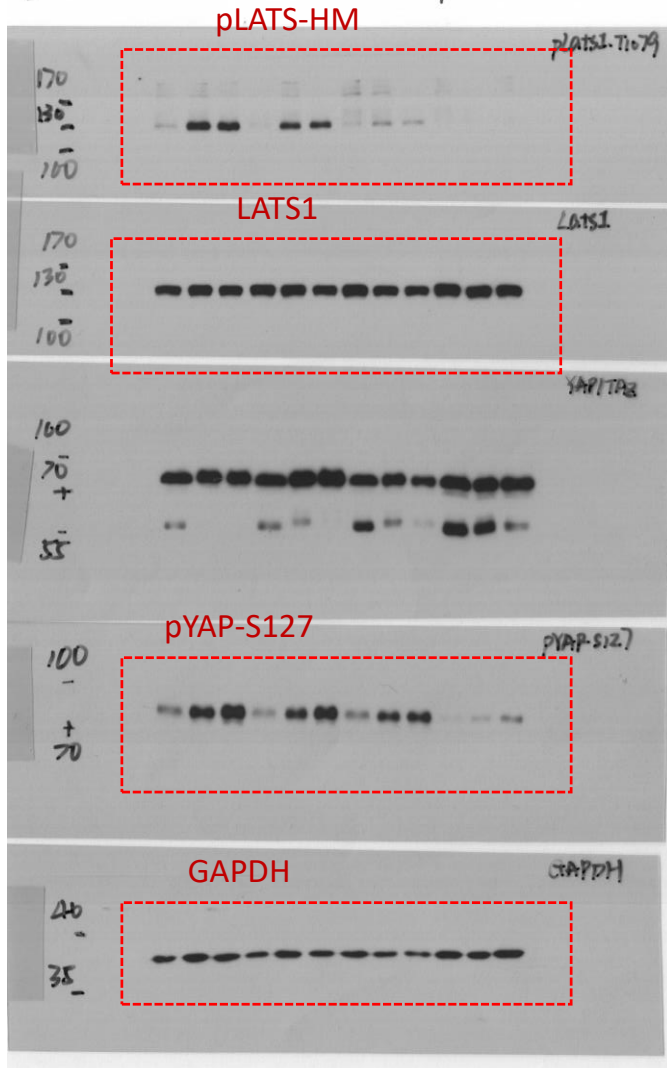


EFig. 6

C

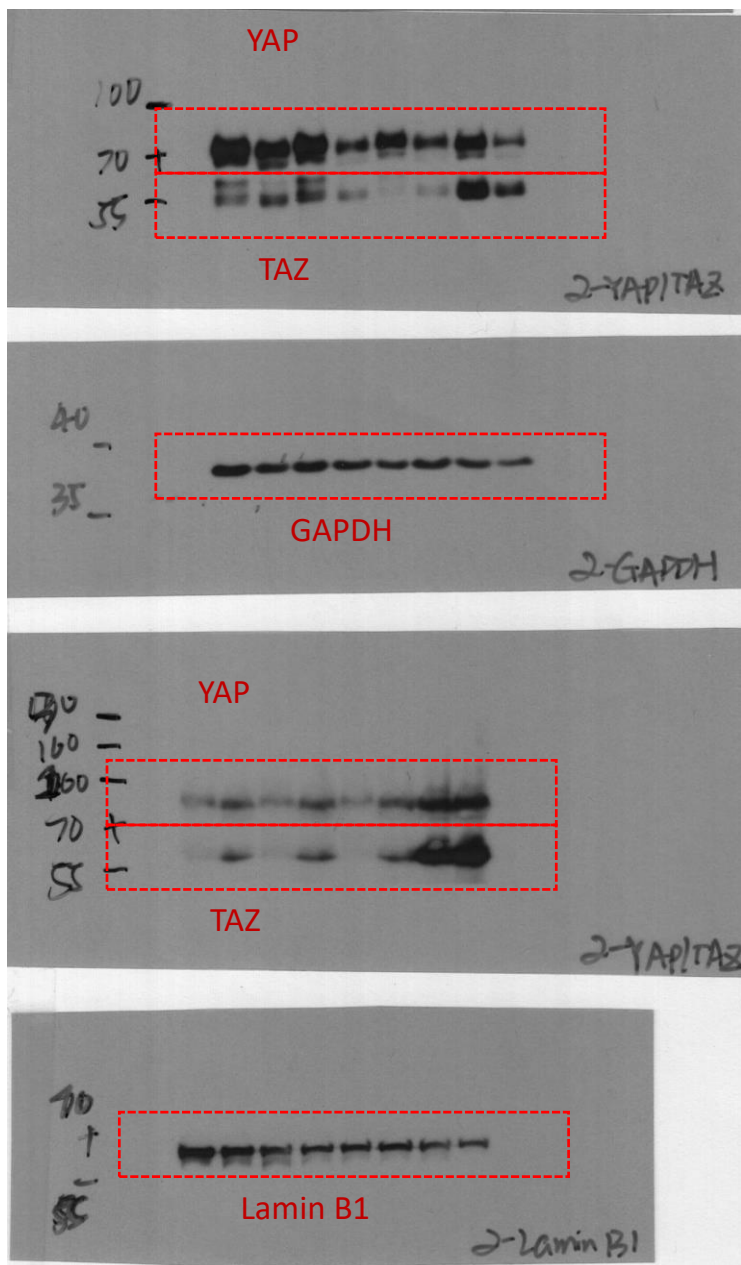
high confluence

2016-04-19



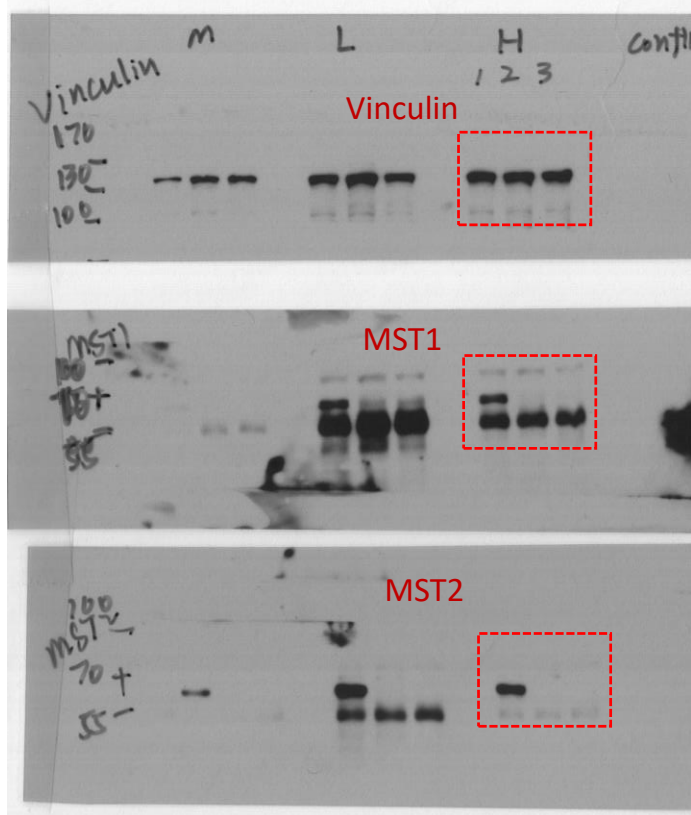
EFig. 6

d



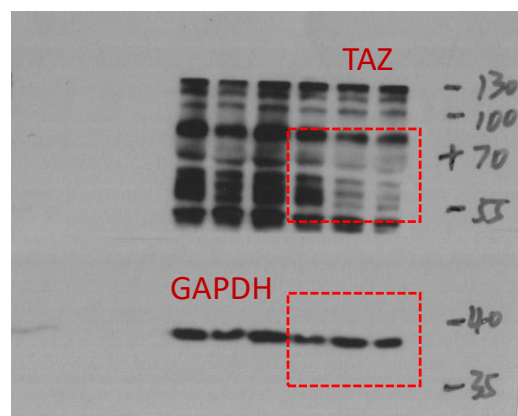
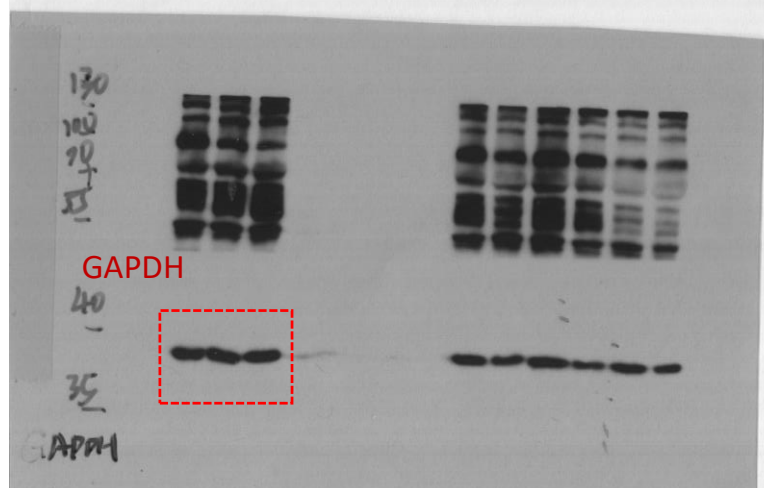
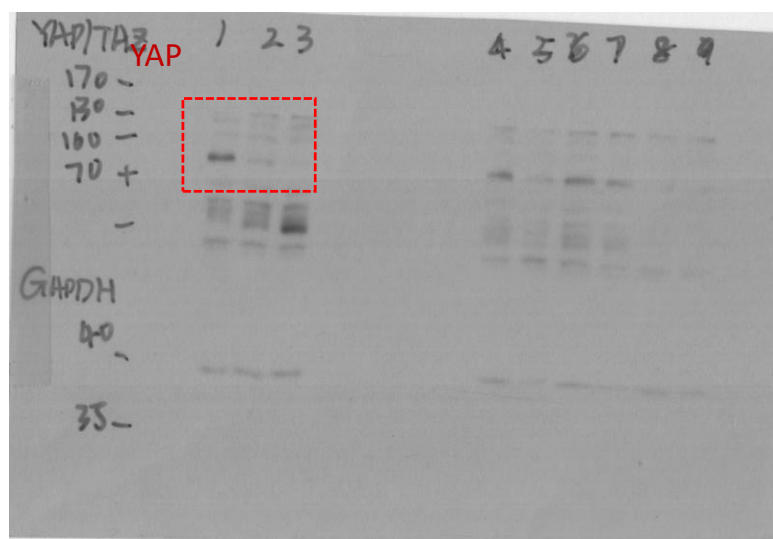
EFig. 7

d



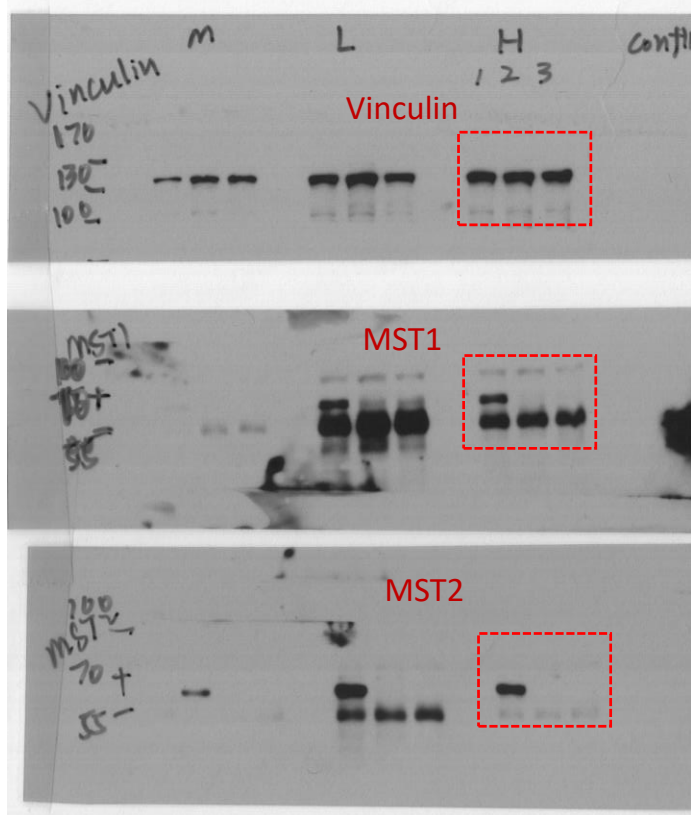
EFig. 8

f



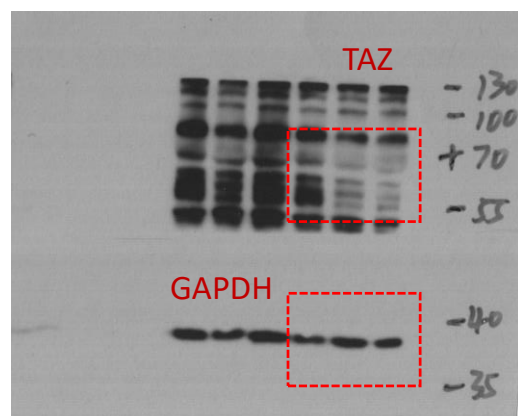
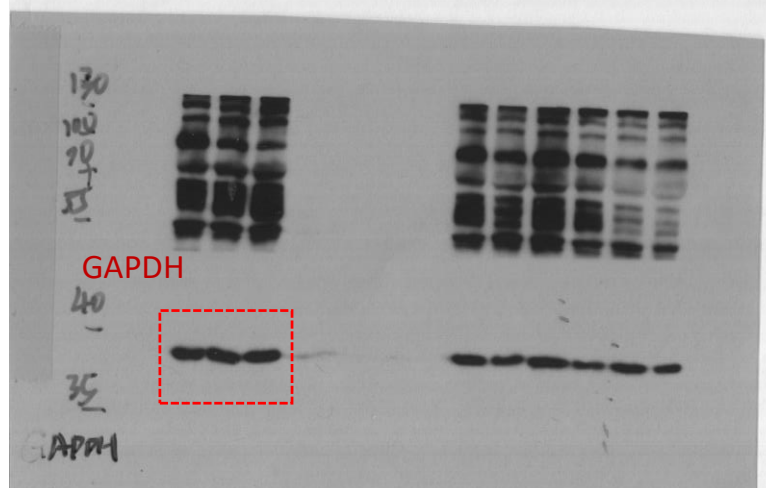
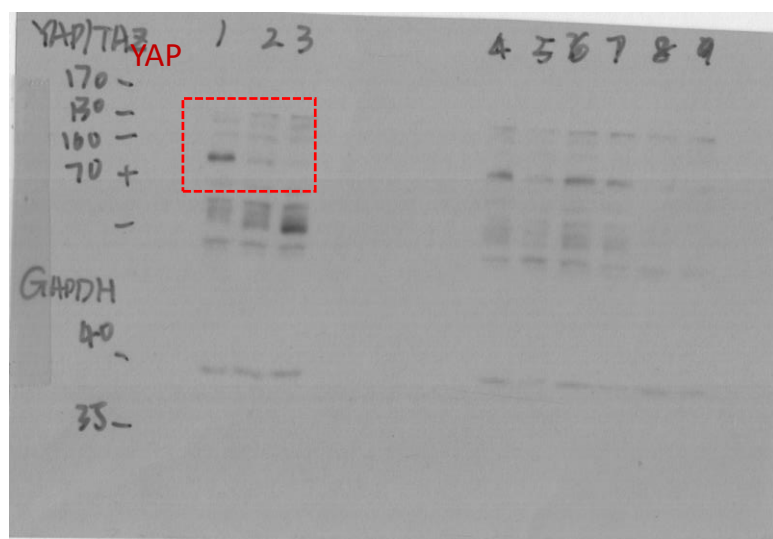
EFig. 7

d

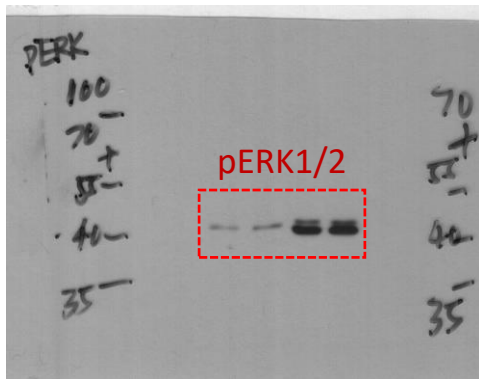
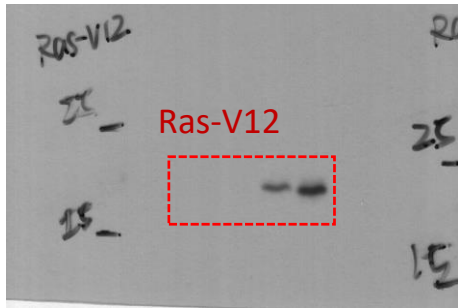
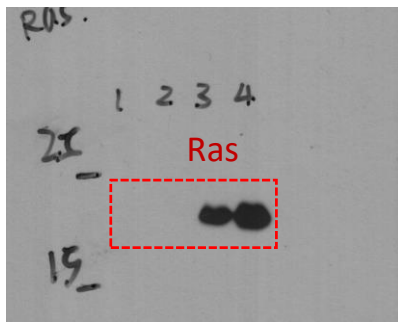


EFig. 8

f



EFig. 8i



EFig. 9a

